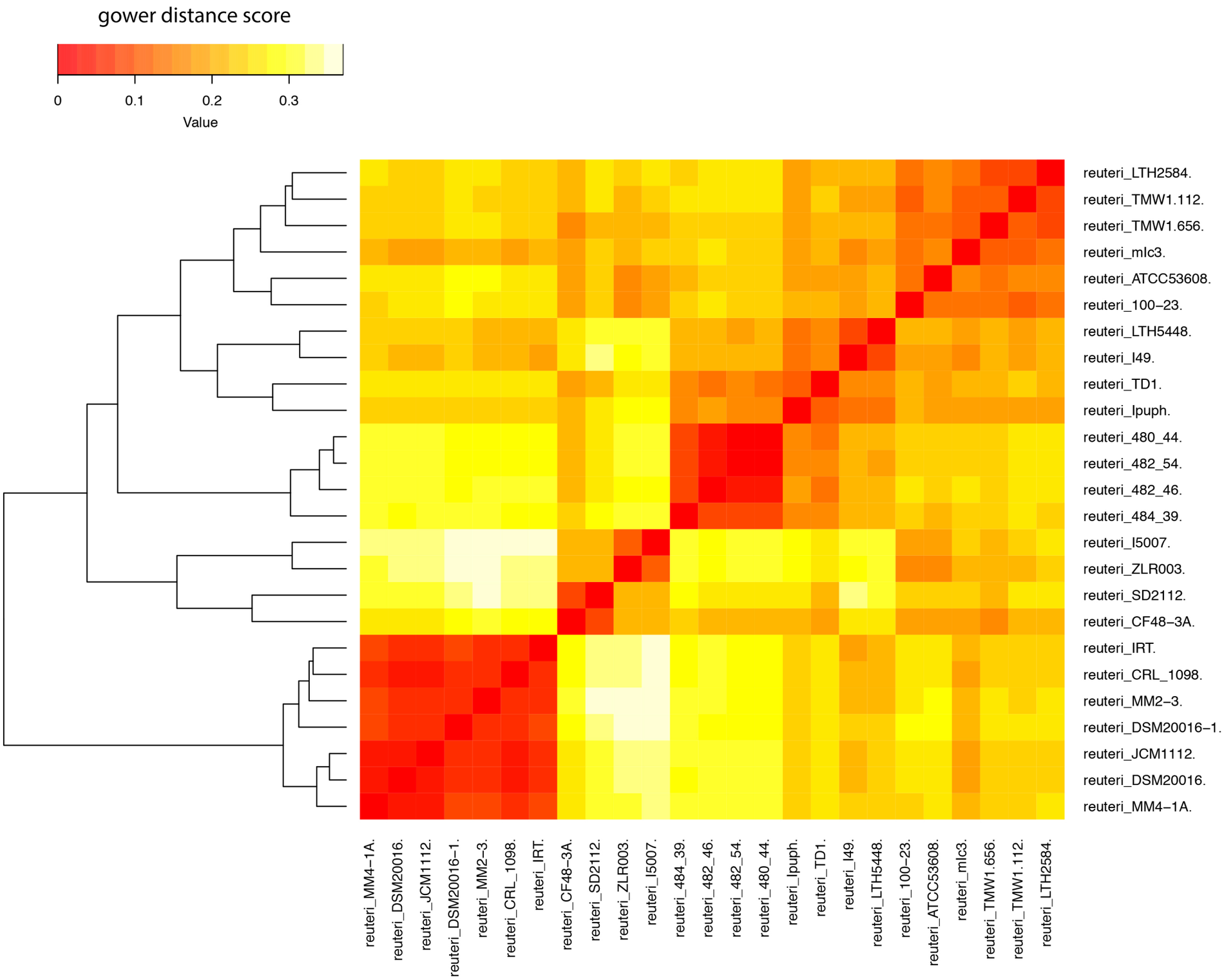
gower distance score
0
0.1
0.2
0.3
Value
reuteri_LTH2584.
reuteri_TMW1.112.
reuteri_TMW1.656.
reuteri_mlc3.
reuteri_ATCC53608.
reuteri_100−23.
reuteri_LTH5448.
reuteri_I49.
reuteri_TD1.
reuteri_Ipuph.
reuteri_480_44.
reuteri_482_54.
reuteri_482_46.
reuteri_484_39.
reuteri_I5007.
reuteri_ZLR003.
reuteri_SD2112.
reuteri_CF48−3A.
reuteri_IRT.
reuteri_CRL_1098.
reuteri_MM2−3.
reuteri_DSM20016−1.
reuteri_JCM1112.
reuteri_DSM20016.
reuteri_MM4−1A.
reuteri_MM4−1A.
reuteri_DSM20016.
reuteri_JCM1112.
reuteri_DSM20016−1.
reuteri_MM2−3.
reuteri_CRL_1098.
reuteri_IRT.
reuteri_CF48−3A.
reuteri_SD2112.
reuteri_ZLR003.
reuteri_I5007.
reuteri_484_39.
reuteri_482_46.
reuteri_482_54.
reuteri_480_44.
reuteri_Ipuph.
reuteri_TD1.
reuteri_I49.
reuteri_LTH5448.
reuteri_100−23.
reuteri_ATCC53608.
reuteri_mlc3.
reuteri_TMW1.656.
reuteri_TMW1.112.
reuteri_LTH2584.